JOURNAL OF APPLIED SPECTROSCOPY

MARCH - APRIL 2025

МОРФОЛОГИЯ ПОВЕРХНОСТИ, ОПТИЧЕСКИЕ И ЭЛЕКТРОФИЗИЧЕСКИЕ СВОЙСТВА ПЛЕНОК ВАНАДАТА ИТТРИЯ YVO₄

Н. А. Босак ^{1*}, А. Н. Чумаков ¹, Л. В. Баран ², В. В. Малютина-Бронская ³,

Т. Ф. Райченок ¹, А. А. Иванов ¹, В. В. Кирис ¹, Е. М. Дятлова ⁴,

А. А. Шевченок ⁵, А. В. Бука ⁴, А. С. Кузьмицкая ³

УДК 621.373.826:(533.9+537.9)

(Поступила 26 сентября 2024, принята к печати 20 января 2025)

Методом высокочастотного импульсно-периодического ($f \sim 13~\kappa\Gamma u$) воздействия лазерного излучения с длиной волны $1.064~m\kappa m$ и плотностью мощности $q=64~MBm/cm^2$ на керамику ванадата иттрия YVO_4 при давлении в вакуумной камере $p=3~\Pi a$ получены наноструктурированные тонкие пленки на кремниевой подложке. Методом атомно-силовой микроскопии изучена морфология тонких пленок YVO_4 . Получены спектры пропускания пленок в видимой, ближней и средней UK-областях. Проведен анализ электрофизических свойств структуры YVO_4/Si .

Ключевые слова: высокочастотное лазерное воздействие, структура тонких пленок, спектры пропускания и отражения, электрофизические характеристики.

Nanostructured thin films on silicon substrate were obtained by high-frequency pulse-periodic ($f \sim 13 \text{ kHz}$) action of laser radiation with a wavelength of 1.064 μ m and a power density of $q = 64 \text{ MW/cm}^2$ on yttrium vanadate YVO₄ ceramics at a pressure in vacuum chamber of p = 3 Pa. The morphology of thin YVO₄ films was studied using atomic force microscopy. Transmission spectra of YVO₄ films were obtained in the visible, near and mid-IR regions. The electrophysical characteristics of YVO₄ /Si structures were analyzed.

Keywords: high-frequency laser irradiation, structure of thin films, transmission and reflection spectra, electrophysical characteristics.

Введение. Ванадат иттрия широко используется при изготовлении двулучепреломляющих кристаллов в лазерной технике. Ортованадат иттрия (YVO₄) является одним из важнейших материалов для лазеров [1]. Наноструктурированные пленки ванадата иттрия могут быть полезны при разработке новых фотоактивных веществ, таких как люминофоры. При легировании ионами редкоземельных элементов (Nd^{3+} и др.) YVO₄ демонстрирует высокий коэффициент оптического поглощения, большое сечение излучения и длительное время жизни флуоресценции. Из-за сильного поглощения УФсвета YVO₄ и эффективного возбуждения ионов Eu^{3+} легированный ванадат иттрия YVO⁴: Eu^{3+} стал одним из превосходных люминофоров, излучающих красный свет [2—4]. Интерес к тонким пленкам люминофоров обусловлен их потенциальным применением в устройствах с высоким разрешением,

SURFACE MORPHOLOGY, OPTICAL AND ELECTROPHYSICAL PROPERTIES OF YVO₄ FILMS N. A. Bosak ¹, A. N. Chumakov ¹, L. V. Baran ², V. V. Malyutina-Bronskaya ³, T. F. Raichenok ¹, A. A. Ivanov ¹, V. V. Kiris ¹, E. M. Dyatlova ⁴, A. A. Shevchenok ⁵, A. V. Buka ⁴, A. S. Kuzmitskaya ³ (¹ B. I. Stepanov Institute of Physics of the National Academy of Sciences of Belarus, Minsk, Belarus; e-mail: n.bosak@ifanbel.bas-net.by; ² Belarusian State University, Minsk, Belarus; e-mail: baran@bsu.by; ³ SSPA "Optics, Optoelectronics and Laser Technology", Minsk, Belarus; e-mail: malyutina@oelt.basnet.by; ⁴ Belarusian State Technological University, Minsk, Belarus; ⁵ Belarusian State Agrarian Technical University, Minsk, Belarus)

¹ Институт физики НАН Беларуси, Минск, Беларусь; e-mail: n.bosak@ifanbel.bas-net.by

 $^{^2}$ Белорусский государственный университет, Минск, Беларусь; e-mail: baran@bsu.by

³ГНПО "Оптика, оптоэлектроника и лазерная техника", Минск, Беларусь; e-mail: malyutina@oelt.basnet.by

⁴ Белорусский государственный технологический университет, Минск, Беларусь

⁵ Белорусский государственный аграрный технический университет, Минск, Беларусь

таких как плоские дисплейные устройства. Тонкопленочные люминофоры обладают преимуществами — высокой контрастностью и разрешением, превосходной теплопроводностью и лучшей адгезией. Они могут быть получены различными методами осаждения: химическим осаждением, пиролизом при распылении, высокочастотным магнетронным распылением, импульсным лазерным осаждением и др. [2—13]. Оптическая ширина легированных тонких пленок YVO₄ ~4 эВ [11]. В последнее время импульсное лазерное осаждение (PLD) использовалось для выращивания оксидных тонкопленочных люминофоров [9, 12]. В тонкопленочных люминофорах яркость может быть связана с кристалличностью, морфологией, шероховатостью поверхности, типом подложки [4, 7, 12]. Особый интерес представляет исследование свойств пленок YVO₄ на подложке из кремния из-за их потенциального применения в кремниевой оптоэлектронике [12]. Высокочастотное лазерное воздействие на керамическую распыляемую мишень способно обеспечить эффективное получение пленок [14].

Цель данной работы — получение и комплексное исследование лазерно-осажденных пленок ванадата иттрия на стеклянной и кремниевой подложках.

Экспериментальная установка и методы. Экспериментальная установка на основе неодимового лазера ($\lambda=1.06$ мкм) включает в себя оптическую систему транспортировки лазерного излучения к распыляемой мишени, вакуумную камеру и измерительно-диагностический комплекс. Для получения многоимпульсного режима генерации лазера с высокой частотой повторения импульсов внутри резонатора установлен пассивный оптический затвор из радиационно-облученного кристаллического фторида лития LiF с F_2 -центрами окраски. Частота повторения лазерных импульсов изменялась варьированием уровня накачки лазера и оптической плотности затвора, длительность лазерных импульсов на полувысоте \sim 85 нс. Эффективное осаждение тонких пленок достигалось при плотности мощности лазерного излучения $q=64~\mathrm{MBT/cm^2}$ и частоте повторения импульсов $f\sim$ 13 к Γ ц. Пленки осаждались при давлении 3 Па. Керамические мишени получены методом формования и последующего спекания при температуре $T=1500~\mathrm{C}$ на воздухе.

Морфология поверхности образцов исследована с помощью сканирующего зондового микроскопа Solver P47 -Pro (НТ-МДТ, Россия). Использованы бесконтактные кремниевые кантилеверы с радиусом кривизны кончика иглы <10 нм. Исследование морфологии поверхности проведено в режиме
амплитудно-частотной модуляции методом постоянной силы. Измерение вольт-амперных характеристик (ВАХ) (темновых и при воздействии лазерного излучения с различными длинами волн) проведено при комнатной температуре на автоматизированном базовом лазерном испытательном комплексе с мультиспектральным источником лазерного излучения (набор лазерных диодов с длинами волн
405, 450, 520, 660, 780, 808, 905, 980 и 1064 нм с общим оптоволоконным выводом и калиброванной
мощностью излучения). Пропускание оптического излучения тонкими пленками в ближнем ИК-диапазоне измерено на спектрофотометре Carry 500 Scan. Спектры пропускания в дальней ИК-области
зарегистрированы с помощью ИК-Фурье-спектрометра NEXUS (Thermo Nicolet) в диапазоне
400—4000 см⁻¹ с разрешением 2 см⁻¹ после 128 сканов.

Результаты и их обсуждение. Методом атомно-силовой микроскопии (АСМ) установлено, что при осаждении пленок на кремниевую подложку формируется развитая поверхность с капельной фазой различных размеров. АСМ-изображения поверхности пленок ванадата иттрия на кремниевой подложке КДБ-12 (100) представлены на рис. І и 2. Латеральный размер крупных капель на поверхности пленок 0.5—2.5 мкм (рис. 1, a, δ), высота капель ≤350 нм. Доля крупной капельной фазы составляет 2 % от общей площади поверхности пленок. Установлено, что пленка YVO₄ состоит из мелкодисперсных частиц с латеральным размером 20—250 нм (рис. 2), средний перепад высот ≤50 нм, средняя арифметическая шероховатость 17 нм.

Коэффициент пропускания кремниевой подложки (рис. 3, a) резко возрастает на $\lambda=992$ нм до T=54 % на $\lambda=1185$ нм, оставаясь неизменным до $\lambda=2992$ нм. Коэффициент пропускания лазерно-осажденной пленки ванадата иттрия на кремниевой подложке в ближней ИК-области плавно увеличивается от T=0 % на $\lambda=998$ нм до T=2.7 % на $\lambda=1116$ нм, медленно спадая до T=1.4 % на $\lambda=2984$ нм. В спектре пропускания кремниевой подложки в средней ИК-области (рис. 3, δ) наблюдаются две полосы поглощения на $\nu=613$ и 1112 см $^{-1}$ с выходом коэффициента пропускания на постоянное значение T=53.8 % в интервале 1518-3900 см $^{-1}$. Коэффициент пропускания пленки ванадата иттрия на кремниевой подложке уменьшается от T=33.9 % при $\nu=404$ см $^{-1}$ до T=2.9 % при $\nu=2168$ см $^{-1}$, изменяясь незначительно до T=2.2 % при $\nu=3877$ см $^{-1}$. Анализ спектров пропускания (рис. 3, a и δ) показывает хорошее поглощение НК-излучения пленкой YVO₄ на кремниевой

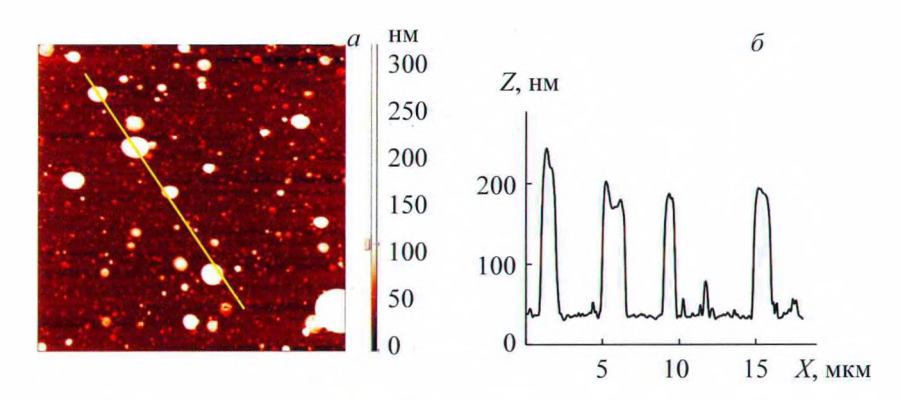


Рис. 1. Морфология поверхности (a) (область сканирования 20×20 мкм) и профиль сечения вдоль выделенной линии (δ) лазерно-осажденной тонкой пленки ванадата иттрия на кремнии

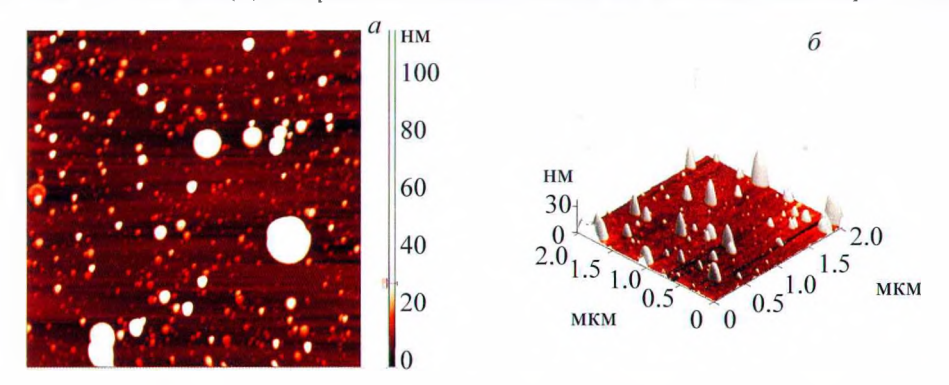


Рис. 2. ACM-изображения поверхности тонкой пленки ванадата иттрия на кремнии: a — двухмерное (область сканирования 5×5 мкм), δ — трехмерное

подложке. В спектре отражения кремниевой подложки (рис. 3, ϵ) наблюдаются два максимума при $\lambda=275$ нм и $\lambda=370$ нм и широкая полоса от $\lambda=472$ нм (R=25%) до $\lambda=1017$ нм (R=28.6%), что характерно для монокристаллического кремния [15]. Коэффициент отражения R пленки ванадата иттрия на кремниевой подложке имеет два минимума ($R_{\rm 1мин}=11.4$ % на $\lambda=249$ нм и $R_{\rm 2миh}=1.1$ % на $\lambda=600$ нм) и один максимум $R_{\rm 1макc}=41$ % на $\lambda=355$ нм.

Коэффициент пропускания стеклянной подложки в видимой и ближней ИК-областях (рис. 3, ϵ) резко возрастает от T=0.4% на $\lambda=293$ нм до T=87.7% на $\lambda=361.5$ нм, а затем остается постоянным до $\lambda=2661$ нм. В спектре пропускания лазерно-осажденной пленки ванадата иттрия на стеклянной подложке имеются два участка роста: резкий на переднем участке спектра пропускания и пологий от T=60.1% на $\lambda=859$ нм до T=81.6% на $\lambda=2643$ нм.

Зависимость коэффициента пропускания стеклянной подложки в средней ИК-области двухступенчатая (рис. 3, ∂). Пропускание пленки ванадата иттрия на стеклянной подложке резко увеличивается от T=1.9~% при $v=2116~{\rm cm}^{-1}$ до T=48~% при $v=2497~{\rm cm}^{-1}$, а также от T=43.7~% при $v=3536~{\rm cm}^{-1}$ до T=77.4~% при $v=3695~{\rm cm}^{-1}$. Форма спектра пропускания пленки ванадата иттрия на стеклянной подложке в средней ИК-области повторяет форму спектра пропускания стеклянной подложки, однако из-за поглощения в пленке коэффициент пропускания пленки ванадата иттрия на стеклянной подложке в средней и правой частях спектра не совпадает с пропусканием самой стеклянной подложки.

В спектре отражения стеклянной подложки (рис. 3, e) имеются два максимума: R=6.3~% на $\lambda=203$ нм и R=7.7~% на $\lambda=351$ нм. В спектре отражения тонкой пленки ванадата иттрия на стеклянной подложке наблюдаются две полосы поглощения: $\lambda=220.6$ нм с R=15.4~% и $\lambda=379$ нм с R=7.6~%, а также выраженный максимум с R=20~% на $\lambda=728$ нм.

Анализ спектров пропускания (рис. 3, ε и δ) показывает, что пленка YVO₄ на стеклянной подложке поглощает часть излучения только в видимой и ближней ИК-областях (рис. 3, ε), при этом увеличивается коэффициент отражения при $\lambda > 450$ нм по сравнению с пленкой YVO₄ на кремниевой подложке (рис. 3, ε).

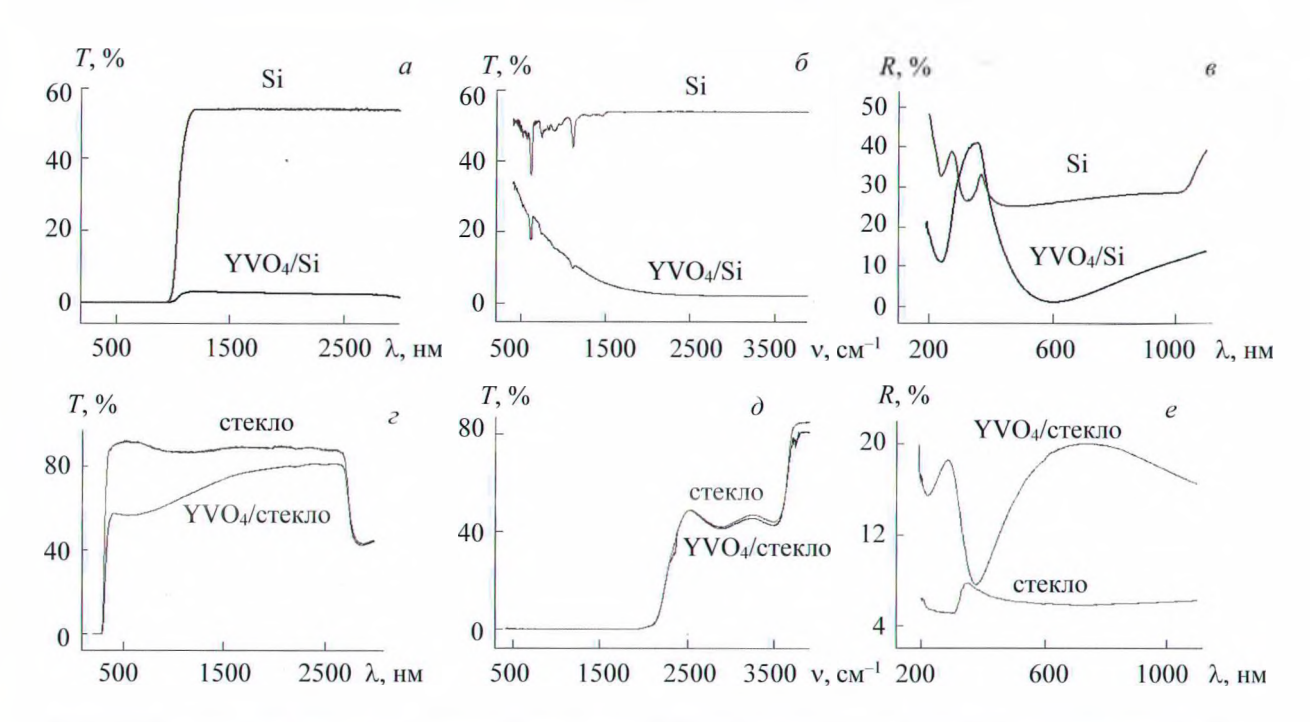


Рис. 3. Спектры пропускания в видимой и ближней ИК-областях (a, ε) и средней ИК-области (b, ϕ) и спектры отражения (b, e) лазерно-осажденной пленки ванадата иттрия на кремниевой (a-b) и стеклянной (c-e) подложках

Вольт-фарадные характеристики (ВФХ) структуры YVO₄/Si, измеренные на частотах 100 кГц и 1 МГц, а также под действием лазерного излучения с $\lambda=405$, 660 и 905 нм (рис. 4, a и b) имеют вид, характерный для структур металл-оксид-полупроводник (МОП). На ВФХ, измеренной на 100 кГц, имеются три области: обогащения (при напряжениях от -25 до -7 В), модуляции емкости (от 7 до 0 В) и инверсии (при напряжениях >0 В). При отрицательных напряжениях наблюдается гистерезис ВФХ на обеих частотах. С ростом частоты от 100 кГц до 1 МГц емкость обогащения падает с 280 до 220 пФ, а гистерезис ΔU увеличивается от 8.61 до 11.47 В. Из рис. 4, b видно, что гистерезис изменяется при воздействии лазерным излучением с разной длиной волны: $\Delta U=8.61$ В (темновая), 4.94 В (405 нм), 6.78 В (660 нм) и 11.83 В (980 нм). С учетом того что изменение гистерезиса ВФХ структуры YVO₄/Si происходит под воздействием лазерного излучения широкого спектрального диапазона, можно предположить, что поверхностные состояния, участвующие в зарядовых процессах, образуют в запрещенной зоне оксида YVO₄ квазинепрерывный спектр локализованных состояний.

Основная причина возникновения поверхностных состояний в запрещенной зоне кремния заключается в том, что граница раздела является нарушением пространственной периодичности кристаллической решетки. При изменениях приложенного к МОП-структуре напряжения положение энергетических уровней поверхностных ловушек изменяется, следуя за смещением краев разрешенных зон полупроводника на границе раздела. В результате изменяются зарядовое состояние этих ловушек и вид ВФХ [16].

ВАХ, измеренные при воздействии лазерного излучения с различными длинами волн, и спектральная чувствительность S структур YVO_4/Si , полученные при напряжении -20 В, представлены на рис. 4, ϵ . Длина волны возбуждения люминесценции 350 нм, длина волны регистрации люминесцепции при записи спектра возбуждения 460 нм. Из зависимости спектральной чувствительности от длины волны видно, что для структур YVO_4/Si наблюдается фотоэффект при отрицательной полярности напряжения -20 В, подаваемого на пленку YVO_4 , и воздействии лазерного излучения с $\lambda = 450$ и 905 нм. Наличие фотопроводимости при облучении излучением с $\lambda = 450$ нм может быть обусловлено оптической шириной запрещенной зоны, а при облучении излучением с $\lambda = 905$ нм — наличием поверхностных состояний на границе раздела структур YVO_4/Si . Наибольший фотоэффект наблюдается при смещении более -15 В. При других длинах волн лазерного излучения фотоэффект незначительный.

Спектры люминесценции и возбуждения люминесценции пленки YVO₄ на кремнии представлены на рис. 4, г. Максимум в спектре возбуждения люминесценции расположен при 360 нм, а максимумы в спектре люминесценции — при 413 и 438 нм.

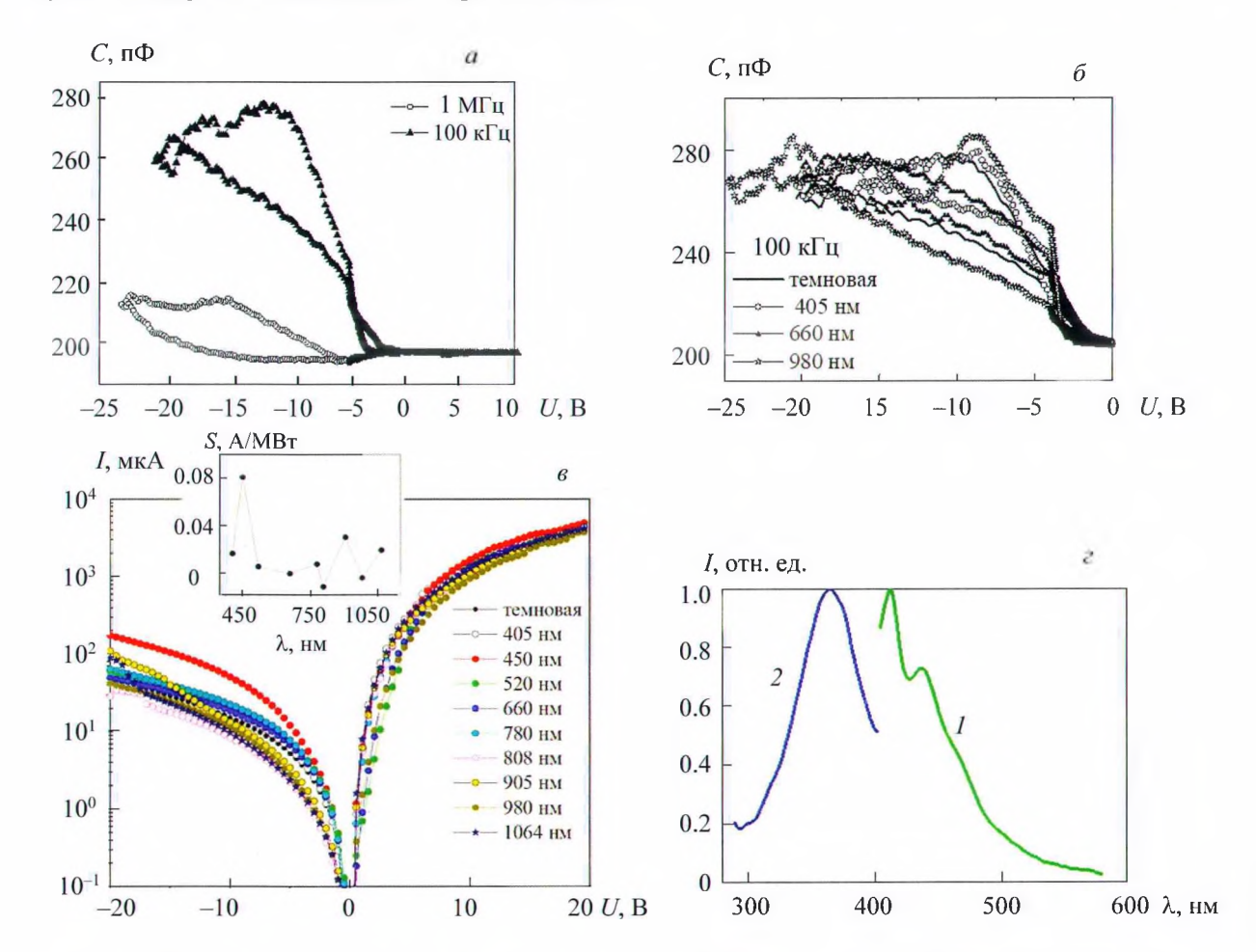


Рис. 4. Вольт-фарадные характеристики на частотах 100 кГц и 1 МГЦ (a, b) и вольт-амперные характеристики (a), измеренные при воздействии лазерного излучения различных длин волн, спектральная чувствительность (a, вставка), а также спектры люминесценции с $\lambda_{воз} = 350$ нм (a) и возбуждения люминесценции с a0 нм (a2) пленки YVO4 на кремниевой подложке (a3)

Известно, что поликристаллические образцы YVO4 обладают собственной люминесценцией, связанной с электронными переходами в ионе ванадия, а также наличием в пленке иттрия или его комплексов с кислородом [17, 18]. Положение максимумов в спектре люминесценции 450 нм, в спектре возбуждения 320 нм соответствует сдвигу Стокса ~130 нм. Положение максимума в спектре люминесценции также может определяться размерами нановключений, в нашем случае капельной фазы [19]. Для люминесценции YVO4 в наноструктурированных пленках стоксов сдвиг сокращается до 50 нм, что более чем в два раза меньше. Это может свидетельствовать о более слабом взаимодействии люминесцентных центров в пленке по сравнению с кристаллами и, соответственно, меньших потерях энергии возбуждения в образце. Этот факт, а также сдвиг люминесценции YVO4 на пленке в голубую область важны для более эффективной сенсибилизации люминесценции внедренных редкоземельных элементов.

Заключение. Полученные лазерным осаждением пленки YVO₄ на кремнии характеризуются мелкодисперсной структурой со средней шероховатостью 50 нм и наличием незначительного количества крупных частиц на поверхности с латеральным размером 0.5—2.5 мкм. Анализ спектров пропускания показывает, что в области 450—3000 нм пленка YVO₄ на стеклянной подложке поглощает часть излучения только в видимой и ближней ИК-областях, а пропускание стекла после нанесения

оксида с 90 % падает более чем на 10 %. В то же время в области 1130—2885 нм пленка YVO₄ на кремниевой подложке показывает хорошее поглощение ИК-излучения, пропускание кремния после нанесения оксида падает с 55 до 3 %. Коэффициент отражения в диапазоне $\lambda > 450$ нм для пленки YVO₄ на стеклянной подложке увеличивается по сравнению с пленкой на кремниевой подложке.

Фотоэлектрические свойства структуры YVO₄/Si, такие как изменение гистерезиса вольтфарадной характеристики и фототока, при различных длинах волн лазерного излучения, определяются квазинепрерывным спектром локализованных состояний в YVO₄ и на границе раздела YVO₄/Si. Для такой структуры на длине волны возбуждения люминесценции 350 нм наблюдаемые максимумы расположены при 413 и 438 нм. Собственная люминесценция пленки YVO₄ на кремнии обусловлена электронными переходами в ионе ванадия, а также наличием в пленке иттрия или его комплексов с кислородом.

- [1] **C. H. Huang, G. Zhang, Y. Wei, L. X. Huang, H. Y. Zhu, X. J. Huang.** Optik Int. J. Light and Electron Optics, **121**, N 7 (2010) 595—598, doi: 10.1016/j.ijleo.2008.09.0
- [2] M. N. Getz, O. Nilsen, P. A. Hansen. Sci. Rep., 9 (2019) 10247(1—9), doi: 10.1038/s41598-019-46694-8
- [3] T. Chen, H. Zhang, Z. Luo, J. Liang, X. Facile Wu. Coatings, 12, N 4 (2022) 461, doi: 10.3390/coatings12040461
- [4] S. Georgescu, A. M. Voiculescu, E. Cotoi, O. Toma, L. Gheorghe, A. Achim, M. Osiac. ROMOPTO 2009: Ninth Conference on Optics: Micro- to Nanophotonics, II, 74690C (2009), doi: 10.1117/12.866769
- [5] D. R. Milev, P. A. Atanasov, A. O. Dikovska, I. G. Dimitrov, K. P. Petrov, G. V. Avdeev. Appl. Surface Sci., 253, N 19 (2007) 8250—8253, doi: 10.1016/j.apsusc.2007.02.110
- [6] S. Yi, J. S. Bae, B. C. Choi, K. S. Shim, H. K. Yang, B. K. Moon, J. H. Kim. Opt. Mater., 28, N 6-7 (2006) 703—708, doi: 10.1016/j.optmat.2005.09.04
- [7] P. Kumari, P. K. Baitha, J. Manam. Indian J. Phys., 89, N 12 (2015) 1297—1306, doi: 10.1007/s12648-015-0712-x
- [8] A. Klausch, H. Althues, T. Freudenberg, S. Kaskel. Thin Solid Films, 520, N 13 (2012) 4297—4301, doi: 10.1016/j.tsf.2012.02.062
- [9] S. N. Ogugua, O. M. Ntwaeaborwa, H. C. Swart. Coatings, 10, N 11 (2020) 1078, doi: 10.3390/coatings10111078
- [10] G. Bai, H. Zhang, C. Foster. Thin Solid Films, 325, N 1-2 (1998) 115—122, doi: 10.1016/s0040-6090(98)00508-2
- [11] Cho Shinho. Appl. Phys. A, 127 (2021) 161, doi: 10.1007/s00339-021-04308-z
- [12] F. Wang, S. N. Zhu, K. W. Cheah. J. Appl. Phys., 99 (2006) 096103, doi: 10.1063/1.2192147
- [13] И. А. Наговицын, Г. К. Чудинова, А. И. Зубов, Е. В. Зведеев, Ю. М. Таиров, В. А. Мошников, И. Е. Кононова, В. В. Курилкин. Хим. физика, 35, № 7 (2016) 55—59
- [14] Л. Я. Минько, А. Н. Чумаков, Н. А. Босак. Квант. электрон., 17, № 11 (1990) 1480—1484
- [15] А. Н. Магунов, О. В. Лукин. Микроэлектроника, 25, № 2 (1996) 97—111
- [16] В. А. Гуртов. Электронные процессы в структурах металл-диэлектрик-полупроводник, Петрозаводск, ПГУ (1984)
- [17] М. Я. Ходос, Б. В. Шульгин, Ф. Ф. Гаврилов, А. А. Фотиев, В. М. Лиознянский. Журн. прикл. спектр., 16, N² 6 (1972) 1023—1028
- [18] **H. J. Rajendra, C. Pandurangappa.** Nanosci. Nanotech. Res., **4**, N 2 (2017) 43—48, doi: 10.12691/nnr-4-2-2
- [19] W. Xu, Y. Wang, X. Bai, B. Dong, Q. Liu, J. Chen, H. Song. J. Phys. Chem. C, 114, N 33 (2010) 14